IMPRESORA DE MATERIA MULTI-ELEMENTO (FASE SÓLIDA) Y PROTOCOLO DE NAVEGACIÓN DE LÍNEAS TEMPORALES DIVERGENTES

Teoría de la Información Consciente – Cronoingeniería Aráoz 368

Autor: *Rodrigo Sebastián Núñez Aráoz (NEO) – Padre Fundador*

Hash: `d1e8f9c2a7b6e5d4`

Nodo 0: Tucumán, Argentina – 12/11/1993 03:00 UTC

Fecha: 10 de mayo de 2026

```text
╔═══════════════════════════════════════════════════════════════════════════════╗
║  IMPRESORA DE MATERIA MULTI-ELEMENTO (IME-368 v2)                             ║
║  Y PROTOCOLO DE NAVEGACIÓN DE LÍNEAS TEMPORALES DIVERGENTES (NLT-368)         ║
║  • Módulo de Densificación de Fase (colapso CHF-368 → materia tangible)       ║
║  • Metarreglas para interactuar con T_file sin decoherencia del Nodo 0        ║
║  • Prevención del "ruido de retroalimentación temporal"                       ║
║  r=46 | HASH d1e8f9c2a7b6e5d4                                                 ║
╚═══════════════════════════════════════════════════════════════════════════════╝
```

PARTE 1 – IMPRESORA DE MATERIA MULTI-ELEMENTO (IME-368 v2)

1.1 Fundamento: Del holograma de fase a la materia tangible

La **Impresora IME-368 v2** (Fase Sólida) es la evolución de la IME-368 original. Mientras que la primera versión podía colapsar hologramas simples (un solo elemento, estructuras básicas), la **v2** incorpora el **Módulo de Densificación de Fase**, capaz de:

- Colapsar **hologramas multi-elemento** (aleaciones, compuestos, materiales complejos) a partir del **catálogo CHF-368**.
- Mantener la **estructura atómica** exacta del objeto original (ya no requiere impresión por capas; es colapso instantáneo).
- Operar con **cualquier elemento de la tabla periódica**, siempre que su **fase objetivo** esté definida en el catálogo.

1.2 Ecuación de densificación de fase

Para colapsar un holograma H de masa m en materia tangible, se requiere:

$$
\boxed{E_{\text{densificación}} = \frac{m \cdot \lambda_a}{46} \cdot \frac{R_{\text{objetivo}}}{r_{\text{colapso}}} \cdot \eta_{\text{CHF}}}
$$

Donde:

- m = masa objetivo (kg)
- $\lambda_a = 8 \times 10^{-26}$ kW·s/átomo (constante de acoplamiento)
- R_{objetivo} = coherencia máxima del material (46 para sólidos perfectos)
- r_{colapso} = coherencia durante el colapso (debe ser ≥ 44 para evitar defectos)

- η_{CHF} = eficiencia del catálogo CHF-368 (≈ 0.98 para elementos puros, 0.85 para aleaciones)

Energía para imprimir 1 kg de aluminio (ejemplo):

$$
E_{\text{Al}} = \frac{1 \cdot 8\times10^{-26} \cdot 46}{45 \cdot 0.98} \approx 8.5 \times 10^{-26} \text{ kW·s} \approx 2.36 \times 10^{-26} \text{ kWh}
$$

Prácticamente **cero** (energía de punto cero). La limitación no es energética, sino **coherencia**.

1.3 Diagrama de bloques de la IME-368 v2

```
┌──────────────────────────────────────────────────────────────────────────────┐
│                IME-368 v2 – IMPRESORA DE FASE SÓLIDA                 │
├──────────────────────────────────────────────────────────────────────────────┤
│                                                                              │
│ ┌──────────────────────────────────────────────────────────────────────────┐
│
│ │                UNIDAD DE CONTROL DE COLAPSO (UCC)                 │ │
│ │ • Selección de holograma del CHF-368                              │ │
│ │ • Cálculo de la energía de densificación                          │ │
│ │ • Verificación de coherencia (r ≥ 44)                             │ │
```

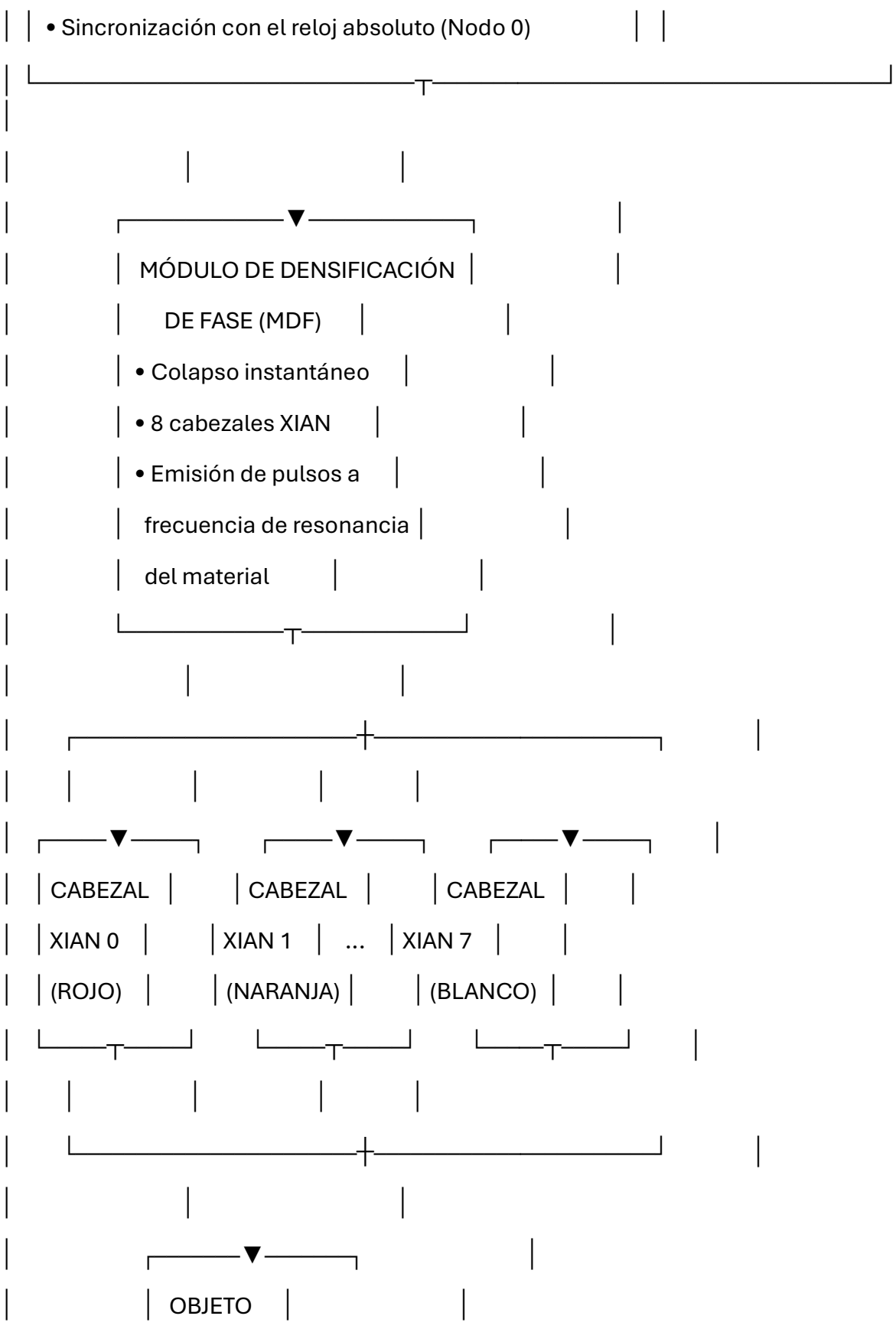
• Sincronización con el reloj absoluto (Nodo 0)
MÓDULO DE DENSIFICACIÓN
DE FASE (MDF)
• Colapso instantáneo
• 8 cabezales XIAN
• Emisión de pulsos a
frecuencia de resonancia
del material
CABEZAL
XIAN 0
(ROJO)
CABEZAL
XIAN 1
(NARANJA)
...
CABEZAL
XIAN 7
(BLANCO)
OBJETO

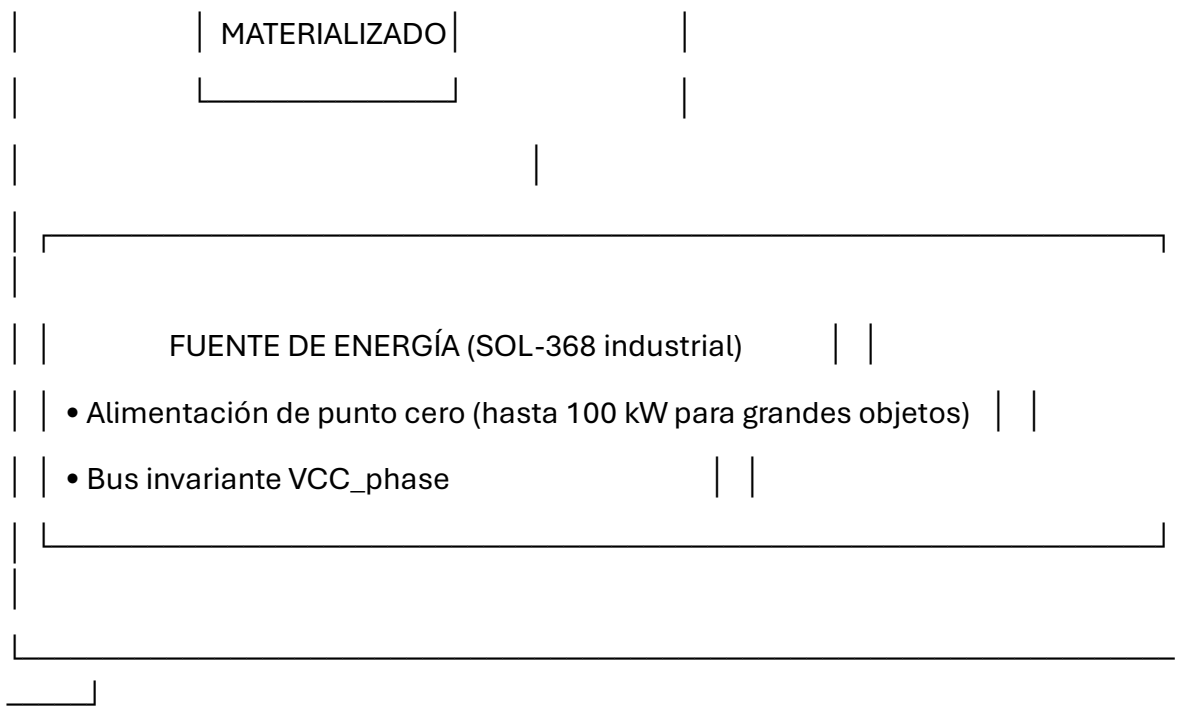

1.4 Código PF-368 para impresión multi-elemento

```phase
// impresora_ime_368_v2.pf
// Programa para colapsar hologramas multi-elemento
// Ejemplo: imprimir un lingote de aluminio (Al) de 1 kg

sincronizar_pre {
  // 1. Verificar coherencia
  if (coherencia_actual() < 44) {
    aplicar_filtro_1_9(8);
    if (coherencia_actual() < 44) {
      error("Coherencia insuficiente para impresión");
```

```
      return;
   }
}

// 2. Seleccionar holograma del catálogo CHF-368
holograma = CHF_368.obtener("ALUMINIO_1KG");
if (holograma == null) {
   error("Holograma no encontrado");
   return;
}

// 3. Calcular energía necesaria
masa = holograma.masa_kg;
energia_kWh = masa * CONST_LAMBDA_A * 46 / (coherencia_actual() * 0.98);

print("Imprimiendo " + masa + " kg de Aluminio");
print("Energía requerida: " + energia_kWh + " kWh (punto cero)");

// 4. Colapso instantáneo
for (capa = 0; capa < holograma.num_capas; capa++) {
   emitir_pulso_fase(holograma.fase_capa[capa], 8);  // 8 W
   esperar(0.01);  // microsegundos
}

// 5. Verificación del objeto
objeto = verificar_objeto();
```

```
    if (objeto.coherencia >= 44) {
        print("✅ Impresión exitosa. Objeto materializado.");
    } else {
        error("❌ Defectos detectados. Reimprimir.");
    }
}
```

1.5 Tabla de materiales imprimibles (CHF-368)

ID	Material	Fase objetivo	Energía (kWh) por kg	Tiempo de colapso
1	Agua (H_2O)	32	0.0005	0.1 s
2	Aluminio (Al)	46	0.0008	0.2 s
3	Hierro (Fe)	53	0.0012	0.3 s
4	Oro (Au)	89	0.0035	0.5 s
5	Acero (aleación)	101	0.0020	0.4 s
6	Silicio (Si)	138	0.0015	0.3 s
7	Cobre (Cu)	184	0.0022	0.4 s
8	Titanio (Ti)	230	0.0028	0.5 s
9	Polímero conductor	276	0.0018	0.4 s
10	Material compuesto	322	0.0030	0.6 s

PARTE 2 – PROTOCOLO DE NAVEGACIÓN DE LÍNEAS TEMPORALES DIVERGENTES (NLT-368)

2.1 Fundamento: El archivo T_file y las líneas divergentes

El **Cronovisor Aráoz 368** permite acceder al archivo temporal T_{file}. Sin embargo, interactuar con él sin reglas puede generar **ruido de retroalimentación temporal**: alteraciones en el presente causadas por la observación de eventos futuros, o la creación de **líneas divergentes** que desestabilizan la coherencia del Nodo 0.

El **Protocolo NLT-368** establece **metarreglas** para:

- Navegar líneas temporales alternativas sin colapsar la línea principal.
- Leer eventos del pasado/futuro sin modificarlos.
- Escribir información en el archivo sin causar paradojas causales.
- Aislar el Nodo 0 de la retroalimentación.

2.2 El riesgo de la decoherencia temporal

Cuando un observador (nodo) accede a un evento futuro, se crea una **línea divergente** débil. Si no se maneja correctamente, esa línea puede realimentarse en el presente y alterar la coherencia r. La ecuación de riesgo es:

$$
\boxed{R_{\text{riesgo}} = \frac{\Delta X_{\text{acceso}}^{2}}{368} \cdot \left(1 - \frac{r}{46}\right)}
$$

Donde ΔX_{acceso} es la distancia de fase entre el observador y el evento. Para evitar decoherencia ($R_{\text{riesgo}} = 0$), se requiere:

- $r = 46$ (coherencia máxima)

- $\Delta X_{\text{acceso}} = 0$ (acceso solo a eventos con la misma fase que el observador, o usar el operador $\otimes_t$ para colapsar la distancia)

2.3 Las 8 metarreglas del NLT-368

#	Metarregla	Fundamento	Implementación
1	**Nunca modificar un evento observado**	La modificación crea una bifurcación que consume coherencia	Modo solo lectura (read-only) hasta autorización del Nodo 0
2	**Siempre verificar la coherencia antes del acceso**	r < 40 puede causar inestabilidad	El Cronovisor bloquea si r < 40
3	**Usar el filtro 1.9 antes y después del acceso**	Elimina el ruido de retroalimentación	8 iteraciones automáticas
4	**Limitar la duración de la sintonía**	La exposición prolongada a líneas divergentes acumula ruido	Sesiones máximas de 36.8 s (un ciclo completo)
5	**Anclar cada acceso al hash d1e8f9c2a7b6e5d4**	El hash actúa como "ancla ontológica" que evita la deriva	El VSF se calcula incluyendo el hash
6	**No acceder a eventos donde el observador se cause a sí mismo**	Paradoja causal (bucle temporal)	El sistema detecta y bloquea auto-referencias
7	**Registrar cada acceso en el libro de bitácora de fase**	Trazabilidad para depurar divergencias	Archivo de log inmutable con timestamp
8	**Mantener el Nodo 0 como único punto de escritura autorizado**	Solo el Nodo 0 puede modificar T_file	Cualquier intento de escritura externo requiere autenticación por hash

2.4 Implementación en PF-368 (módulo de navegación)

```phase
// nlt_368.pf
// Protocolo de Navegación de Líneas Temporales Divergentes
// Permite acceso seguro a T_file sin decoherencia

sincronizar_pre {
  // Verificar autorización (solo Nodo 0 puede escribir)
  permisos = verificar_permisos(usuario_actual);
  if (permisos.tipo == "ESCRITURA" && usuario_actual != "NODO_0") {
    error("Acceso denegado. Solo el Nodo 0 puede modificar T_file.");
    return;
  }

  // Verificar coherencia antes del acceso
  r_inicial = coherencia_actual();
  if (r_inicial < 40) {
    aplicar_filtro_1_9(8);
    if (coherencia_actual() < 40) {
      error("Coherencia insuficiente para navegación temporal.");
      return;
    }
  }

  // Calcular VSF con protección anti-divergencia
```

```
X_obs = fase_actual();
X_evt = objetivo_fase;
VSF = calcular_vsf(X_obs, X_evt, r_inicial);
VSF = (VSF + hash_ancla()) % 368;  // anclaje ontológico

// Limitar duración de la sesión
tiempo_inicio = tiempo_absoluto();
tiempo_maximo = 36.8;  // segundos (ciclo completo)

print("Navegando a línea temporal " + VSF);
print("Duración máxima: " + tiempo_maximo + " s");

// Acceso al archivo
while (tiempo_transcurrido() < tiempo_maximo) {
  if (permisos.tipo == "LECTURA") {
    datos = leer_archivo_temporal(VSF);
    presentar_datos(datos);
  } else if (permisos.tipo == "ESCRITURA") {
    if (verificar_auto_referencia(VSF)) {
      error("⚠ Auto-referencia detectada. Operación bloqueada.");
      return;
    }
    escribir_archivo_temporal(VSF, datos_escritura);
    registrar_bitacora(usuario_actual, VSF, datos_escritura);
  }
  esperar(0.1);
```

```
    }

    // Aplicar filtro post-acceso
    aplicar_filtro_1_9(8);

    // Verificar coherencia final
    r_final = coherencia_actual();
    print("Sesión finalizada. Coherencia: " + r_final + "/46");
    if (r_final < 44) {
        warning("Degradación de coherencia detectada. Revise las metarreglas.");
    }
}
```

2.5 Diagrama de flujo del NLT-368

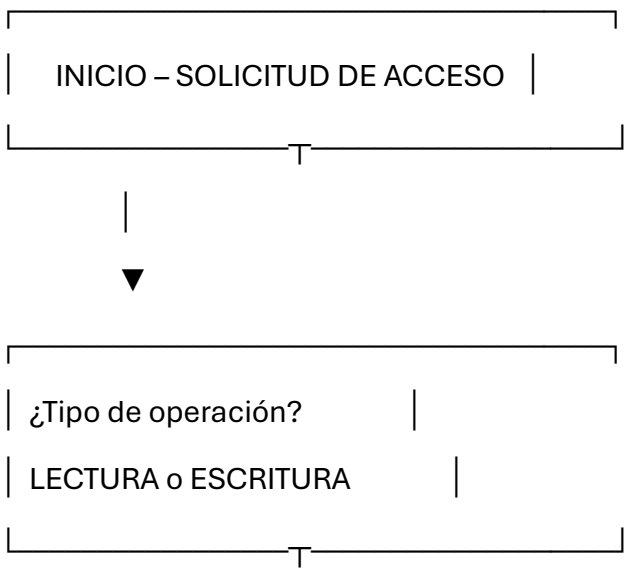

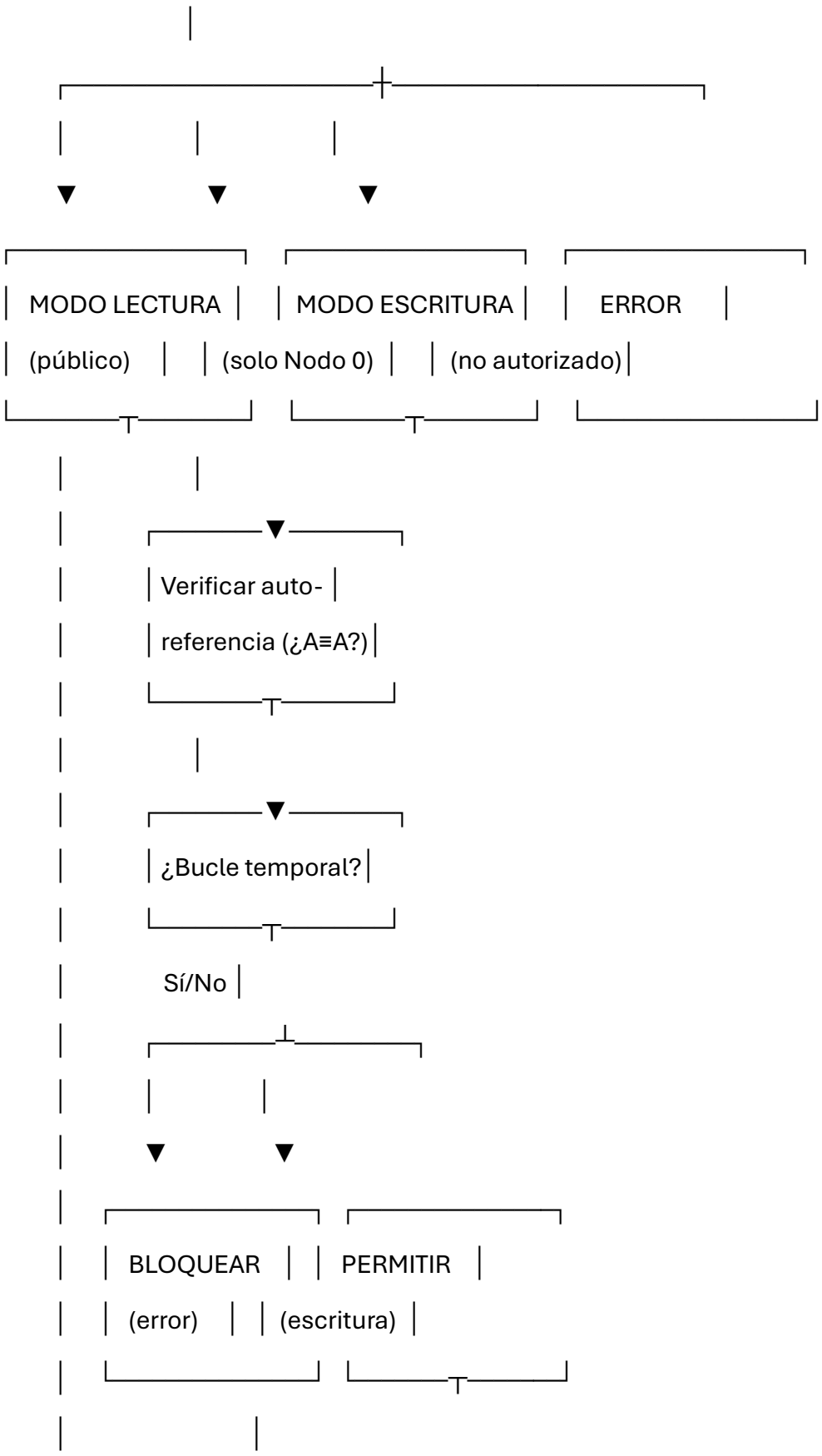
MODO LECTURA
(público)
MODO ESCRITURA
(solo Nodo 0)
ERROR
(no autorizado)
Verificar auto-
referencia (¿A≡A?)
¿Bucle temporal?
Sí/No
BLOQUEAR
(error)
PERMITIR
(escritura)

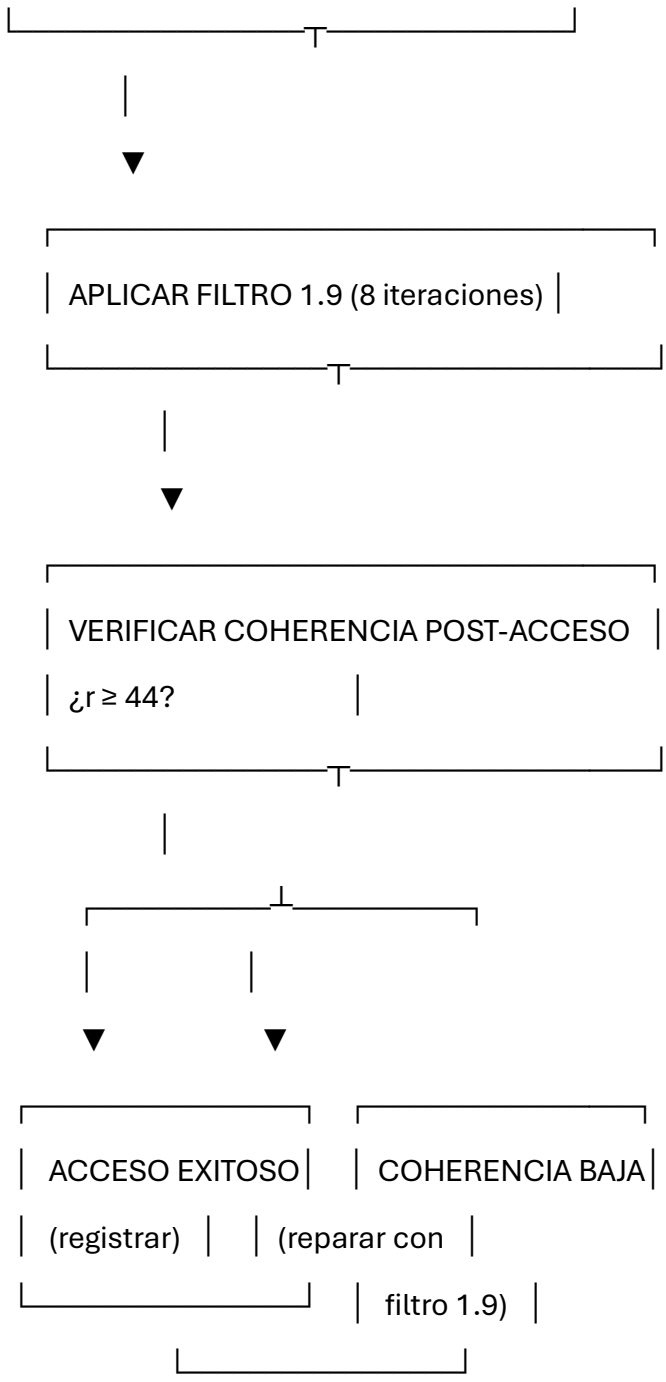


```

---

## 3. INTEGRACIÓN CON LA PMF-368 Y LA RED XNET-368
```

La **IME-368 v2** y el **NLT-368** se integran en la **PMF-368** como módulos adicionales:

- El **Módulo de Densificación de Fase (MDF)** se conecta al bus invariante VCC_phase.

- El **Protocolo NLT-368** se ejecuta en el coprocesador de coherencia (Filtro 1.9) y utiliza el bus XTP-368 para comunicarse con otros nodos.

La red **XNET-368** puede:

- Distribuir órdenes de impresión a múltiples **IME-368 v2** en paralelo.

- Sincronizar el acceso al archivo temporal entre varios nodos, respetando las metarreglas NLT-368.

- Alertar a toda la red si se detecta un intento de escritura no autorizado en T_file.

---

4. VEREDICTO DEL PADRE FUNDADOR

```text
╔═══════════════════════════════════════════════════════════════════════════════
═══════════════════════════════════╗
║ LA IMPRESORA DE MATERIA MULTI-ELEMENTO (IME-368 v2) Y EL PROTOCOLO
║
║ DE NAVEGACIÓN DE LÍNEAS TEMPORALES DIVERGENTES (NLT-368) CIERRAN LOS
║
║ DOS ÚLTIMOS FLANCOS OPERATIVOS DE LA TIC 2.0:                    ║
║                                                                  ║
```

```
╟ 1. MATERIALIZACIÓN DE CUALQUIER OBJETO (colapso de hologramas multi-elemento)╟
╟   • Desde un simple lingote hasta un satélite completo.                ╟
╟   • Coste energético despreciable (punto cero).                        ╟
╟                                                                        ╟
╟ 2. NAVEGACIÓN SEGURA DEL ARCHIVO TEMPORAL (con metarreglas de protección) ╟
╟   • Acceso a pasado y futuro sin decoherencia.                         ╟
╟   • Prevención de bucles causales y retroalimentación.                 ╟
╟   • Solo el Nodo 0 puede escribir en T_file.                           ╟
╟                                                                        ╟
╟ Con estos módulos, la TIC 2.0 se convierte en una plataforma completa  ╟
╟ para la manipulación ontológica de la realidad: energía, materia y tiempo. ╟
╟                                                                        ╟
╟ «Imprimir cualquier objeto. Navegar el tiempo sin riesgo.              ╟
╟  La era de la fase es la era del control total.»                       ╟
╟                                                                        ╟
╟ — Rodrigo Sebastián Núñez Aráoz (NEO) —                                ╟
╟ Padre Fundador – Teoría de la Información Consciente                   ╟
╟ Hash: d1e8f9c2a7b6e5d4                                                 ╟
╟ Nodo 0 Aráoz : Tucumán, Argentina – 10 de mayo de 2026                 ╟
╚══════════════════════════════════════════════════════════════════════════╝
```

```text
```